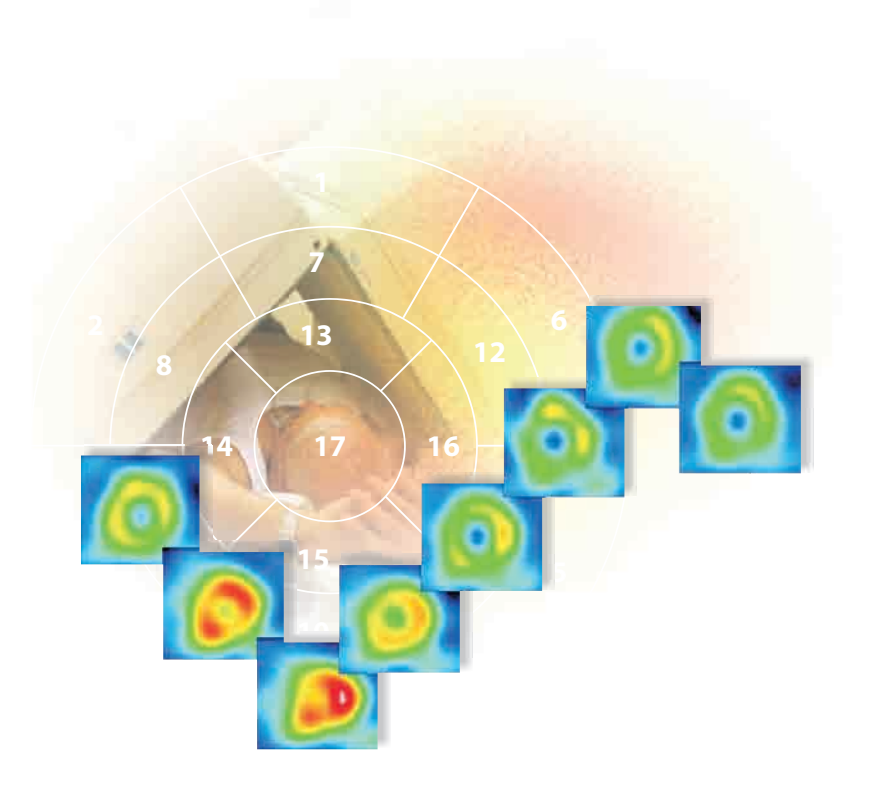
## Myokard-Perfusions-Szintigraphie – Ein Leitfaden für die Praxis

Priv.-Doz. Dr. Oliver Lindner







## Myokard-Perfusions-Szintigraphie – Ein Leitfaden für die Praxis



UNI-MED Verlag AG
Bremen - London - Boston

Priv.-Doz. Dr. med. Oliver Lindner Institut für Radiologie, Nuklearmedizin und Molekulare Bildgebung Herz- und Diabeteszentrum NRW Universitätsklinik der Ruhr-Universität Bochum Georgstr. 11 32545 Bad Oeynhausen

#### Lindner, Oliver:

Myokard-Perfusions-Szintigraphie – Ein Leitfaden für die Praxis/Oliver Lindner.1. Auflage - Bremen: UNI-MED, 2010
(UNI-MED SCIENCE)
ISBN 978-3-8374-5224-2

© 2010 by UNI-MED Verlag AG, D-28323 Bremen, International Medical Publishers (London, Boston) Internet: www.uni-med.de, e-mail: info@uni-med.de

Printed in Europe

Das Werk ist urheberrechtlich geschützt. Alle dadurch begründeten Rechte, insbesondere des Nachdrucks, der Entnahme von Abbildungen, der Übersetzung sowie der Wiedergabe auf photomechanischem oder ähnlichem Weg bleiben, auch bei nur auszugsweiser Verwertung, vorbehalten.

Die Erkenntnisse der Medizin unterliegen einem ständigen Wandel durch Forschung und klinische Erfahrungen. Die Autoren dieses Werkes haben große Sorgfalt darauf verwendet, daß die gemachten Angaben dem derzeitigen Wissensstand entsprechen. Das entbindet den Benutzer aber nicht von der Verpflichtung, seine Diagnostik und Therapie in eigener Verantwortung zu bestimmen.

Geschützte Warennamen (Warenzeichen) werden nicht besonders kenntlich gemacht. Aus dem Fehlen eines solchen Hinweises kann also nicht geschlossen werden, daß es sich um einen freien Warennamen handele.

#### UNI-MED. Die beste Medizin.

In der Reihe UNI-MED SCIENCE werden aktuelle Forschungsergebnisse zur Diagnostik und Therapie wichtiger Erkrankungen "state of the art" dargestellt. Die Publikationen zeichnen sich durch höchste wissenschaftliche Kompetenz und anspruchsvolle Präsentation aus. Die Autoren sind Meinungsbildner auf ihren Fachgebieten.

Wir danken folgenden Mitgliedern unseres Ärztlichen Beirats für die engagierte Mitarbeit an diesem Buch: Dr. Jürgen Bandick, Dr. Volker Durst, Dr. Jens Uwe Eigenwillig, Dr. Kristina Groh, Dr. Hans-Friedrich Heyser, Maria Teresa Koenen, Dr. Achim Viktor, Christoph Voigt und Dr. Jan Waskowski.

#### **Vorwort und Danksagung**

Nachdem "Gated SPECT Eine Einführung", der Vorgänger dieses Buches, eine erfreuliche Resonanz gefunden hat und inzwischen vergriffen ist, entstand die Idee einer Neubearbeitung.

Wesentliche Inhalte des Gated SPECT-Kurses des Instituts für Radiologie, Nuklearmedizin und Molekulare Bildgebung (Herz- und Diabeteszentrum NRW in Bad Oeynhausen) wurden wieder aufgenommen und ergänzt.

So soll dieses Buch Nuklearmedizinern, nuklearmedizinisch tätigen Radiologen, MTRAs, zuweisenden Ärzten und Studenten einen praxisnahen Abriss über den aktuellen Stand und Standard der Myokard-Perfusions-Szintigraphie geben.

Aus Platzgründen musste auf eine tiefer gehende Darstellung der kardialen CT und der Hybridtechnik verzichtet werden, ebenso auf die kardiale Innervationsdiagnostik mit J-123 MIBG.

Viele Ausführungen zur Myokard-Perfusions-SPECT treffen auch auf die kardiale PET zu. Das gilt insbesondere für die Indikationen, die im Kapitel 3. behandelt werden. Die PET und die PET-CT haben neben der klassischen Vitalitätsdiagnostik, mit der quantitativen Perfusionsmessung und der Integration der CT-Koronarangiographie ein enormes Potential, das nur gestreift werden konnte und ein gesondertes Buch Wert ist.

Der Autor dankt allen, die in Gesprächen und Diskussionen in der Klinik, bei Vorträgen, Kongressen, bei Gated SPECT-Kursen in Bad Oeynhausen und beim *Cardiovascular Course* der EANM in Wien zum Konzept und zum Inhalt dieses Buches beigetragen haben. Besonderer Dank gilt Herrn Prof. Dr. W. Burchert für viele Anregungen, Frau Dr. A. Kammeier und Frau C. Thamar für die kritische Durchsicht des Manuskriptes.

Der Leser möge mir die eine oder andere in die Tiefe führende Detailverliebtheit nachsehen.

Forschung und Wissenschaft sind in permanentem Fluss. Für kritische Hinweise und ergänzende Ratschläge bin ich dankbar.

Oliver Lindner, im Oktober 2009

auf dem Flug von Barcelona nach Düsseldorf

Meinen Kindern Rebekka, Ruth und Paul

Inhaltsverzeichnis 7

### Inhaltsverzeichnis

1.	Einführung 12
1.1.	Technische und klinische Entwicklung
1.2.	Standortbestimmung
2.	Grundlagen 16
2.1.	Koronare Herzkrankheit
2.2.	Koronarstenosen und Durchblutung
2.3.	Myokard-Perfusions-Szintigraphie und Durchblutung
	,
3.	Indikationen zur Myokard-Perfusions-Szintigraphie 22
3.1.	Vorbemerkungen
3.2.	Indikationen nach der Versorgungsleitlinie "Chronische KHK"
3.3.	Indikationen auf dem Prüfstand – Appropriateness Criteria
3.4.	Akutes Koronarsyndrom
3.5.	Vitalitätsdiagnostik
5.5.	
4.	Durchführung der Myokard-Perfusions-Szintigraphie 36
4.1.	Vorbereitende Maßnahmen
4.1.1.	Aufklärung und Patienteninformation
4.1.2.	Patientenvorbereitung
4.1.3.	Untersuchungsvorbereitung
4.2.	Belastungsverfahren
4.2.1.	Ergometrie39
4.2.2.	Pharmakologische Belastungsverfahren41
4.2.2.1.	Belastung mit Vasodilatatoren (Adenosin und Dipyridamol)
4.2.2.2.	Nebenwirkungen von Adenosin und Dipyridamol
4.2.2.3. 4.2.2.4.	Exkurs: Ischämien unter Adenosin
4.2.2.4.	Belastung mit Katecholaminen (Dobutamin)
4.2.2.6.	Neue Entwicklungen: Selektive A <sub>2a</sub> -Adenosin-Rezeptor-Agonisten
4.3.	Radiopharmaka
4.3.1.	Thallium-201
4.3.2.	Tc-99m-Perfusions-Radiopharmaka (Sestamibi und Tetrofosmin)
4.3.3.	Strahlenexposition
4.4.	Untersuchungsprotokolle
4.4.1.	Aufnahmeprotokolle für Tl-20151
4.4.2.	Aufnahmeprotokolle für Tc 99m-Perfusions-Radiopharmaka53
4.4.3.	Hybridprotokolle54
E	Aufnahmetechnik 56
5.	
5.1.	Einfache (ungated oder nongated) SPECT
5.1.1. 5.1.2.	Patientenlagerung
5.1.2.	Zirkuläre und nicht-zirkuläre Orbits
5.1.4.	Pixel-Größe und Matrix
5.1.5.	Step-and-Shoot und Continuous-Aufnahme
	,

8 Inhaltsverzeichnis

5.1.6.	Anzahl der Projektionen	
5.1.7.	Aufnahmezeit pro Projektion, Dauer der Aufnahme57	
5.2.	Gated SPECT57	
5.2.1.	Grundlagen der Triggerung – Systole, Diastole und <i>Gates</i>	
5.2.2.	Wie funktioniert <i>gated</i> SPECT?	
5.2.3.	Kurze, lange und unregelmäßige Herzschläge58	
5.2.4.	Akquisitionsstrategien für <i>gated</i> SPECT	
5.2.5.	Gated SPECT-Vorbereitung60	
5.2.6.	Gated SPECT-Akquisitionsprotokolle für eine 2-Kopf-Kamera61	
5.2.6.1.	Akquisitionprotokoll mit Akzeptanz-Fenster und extra Files	
5.2.6.2.	Akquisitionsprotokoll ohne extra Files	
5.2.6.3.	Tracking – Nachführung der Herzfrequenz	
5.2.6.4.	Sampling mit 8 oder 16 Gates	
5.2.6.5. 5.2.6.6.	Gated SPECT und Extrasystolen   64     Gated SPECT bei absoluter Arrhythmie   64	
5.2.6.7.	Gated SPECT mit Tl-201 oder Tc-99m-Radiopharmaka	
5.2.6.8.	Gated SPECT: Bauch- oder Rückenlage?	
5.3.	Schwächungskorrektur	
5.3.1.	Physikalische Grundlagen	
5.3.2.	Absorptionsprobleme	
5.3.3.	Prinzip der Schwächungskorrektur und Artefakte	
5.3.4.	Nutzung und Verbreitung der Schwächungskorrektur	
5.3.5.	Klinische Bedeutung der Schwächungskorrektur	
5.5.5.	The second of th	
<b>6.</b>	Rekonstruktion und Auswertung 74	
6.1.	Rohdatencheck	
6.2.	Gefilterte Rückprojektion	
6.3.		
	Iterative Rekonstruktion	
6.4.	Reorientierung	
6.5.	Auswertung gated SPECT	
6.5.1.	Qualitätskontrolle	
6.5.2.	Ergebnispräsentation und Normwerte	
6.5.3.	Exkurs: Partialvolumeneffekt	
6.5.3. 6.5.4.		
6.5.4.	Exkurs: Partialvolumeneffekt	
6.5.4. <b>7.</b>	Exkurs: Partialvolumeneffekt	
6.5.4. <b>7.</b> 7.1.	Exkurs: Partialvolumeneffekt79Genauigkeit der ermittelten Parameter.80Gated SPECT – Warum und wann?84Gründe für Gated SPECT.84	
6.5.4. <b>7.</b>	Exkurs: Partialvolumeneffekt.79Genauigkeit der ermittelten Parameter.80Gated SPECT – Warum und wann?84Gründe für Gated SPECT84Gated Rest, gated Stress – oder beides?.86	
6.5.4. <b>7.</b> 7.1.	Exkurs: Partialvolumeneffekt79Genauigkeit der ermittelten Parameter.80Gated SPECT – Warum und wann?84Gründe für Gated SPECT.84	
6.5.4.  7. 7.1. 7.2. 7.3.	Exkurs: Partialvolumeneffekt.79Genauigkeit der ermittelten Parameter80Gated SPECT – Warum und wann?84Gründe für Gated SPECT.84Gated Rest, gated Stress – oder beides?86Einfluss von gated SPECT auf Befundung und Diagnostik.87	
6.5.4.  7.1. 7.2. 7.3.	Exkurs: Partialvolumeneffekt.79Genauigkeit der ermittelten Parameter.80Gated SPECT – Warum und wann?84Gründe für Gated SPECT84Gated Rest, gated Stress – oder beides?.86Einfluss von gated SPECT auf Befundung und Diagnostik87Befundung und Dokumentation90	
6.5.4.  7. 7.1. 7.2. 7.3.	Exkurs: Partialvolumeneffekt.79Genauigkeit der ermittelten Parameter.80Gated SPECT – Warum und wann?84Gründe für Gated SPECT.84Gated Rest, gated Stress – oder beides?.86Einfluss von gated SPECT auf Befundung und Diagnostik.87Befundung und Dokumentation90Schnittbilder.90	
6.5.4.  7.1. 7.2. 7.3.	Exkurs: Partialvolumeneffekt.79Genauigkeit der ermittelten Parameter80Gated SPECT – Warum und wann?84Gründe für Gated SPECT.84Gated Rest, gated Stress – oder beides?86Einfluss von gated SPECT auf Befundung und Diagnostik.87Befundung und Dokumentation90Schnittbilder90Polartomogramme.90	
7. 7.1. 7.2. 7.3. 8.1.	Exkurs: Partialvolumeneffekt.79Genauigkeit der ermittelten Parameter.80Gated SPECT – Warum und wann?84Gründe für Gated SPECT.84Gated Rest, gated Stress – oder beides?.86Einfluss von gated SPECT auf Befundung und Diagnostik.87Befundung und Dokumentation90Schnittbilder.90	
7. 7. 7. 7. 7. 7. 7. 7. 7. 7. 8. 8. 1. 8. 2.	Exkurs: Partialvolumeneffekt.79Genauigkeit der ermittelten Parameter80Gated SPECT – Warum und wann?84Gründe für Gated SPECT.84Gated Rest, gated Stress – oder beides?86Einfluss von gated SPECT auf Befundung und Diagnostik.87Befundung und Dokumentation90Schnittbilder90Polartomogramme.90	
7. 7.1. 7.2. 7.3. 8. 8.1. 8.2. 8.3. 8.4.	Exkurs: Partialvolumeneffekt.79Genauigkeit der ermittelten Parameter.80Gated SPECT – Warum und wann?84Gründe für Gated SPECT.84Gated Rest, gated Stress – oder beides?.86Einfluss von gated SPECT auf Befundung und Diagnostik.87Befundung und Dokumentation90Schnittbilder.90Polartomogramme.90Befundungsgrundlagen für Belastungs- und Ruheaufnahmen.91Quantitative Perfusionsanalyse.92	
6.5.4.  7. 7.1. 7.2. 7.3.  8. 8.1. 8.2. 8.3. 8.4. 8.5.	Exkurs: Partialvolumeneffekt.79Genauigkeit der ermittelten Parameter80Gated SPECT – Warum und wann?84Gründe für Gated SPECT.84Gated Rest, gated Stress – oder beides?86Einfluss von gated SPECT auf Befundung und Diagnostik.87Befundung und Dokumentation90Schnittbilder90Polartomogramme.90Befundungsgrundlagen für Belastungs- und Ruheaufnahmen91Quantitative Perfusionsanalyse92Nebenbefunde94	
7. 7. 1. 7. 2. 7. 3. 8. 8. 1. 8. 2. 8. 3. 8. 4.	Exkurs: Partialvolumeneffekt.79Genauigkeit der ermittelten Parameter.80Gated SPECT – Warum und wann?84Gründe für Gated SPECT.84Gated Rest, gated Stress – oder beides?.86Einfluss von gated SPECT auf Befundung und Diagnostik.87Befundung und Dokumentation90Schnittbilder.90Polartomogramme.90Befundungsgrundlagen für Belastungs- und Ruheaufnahmen.91Quantitative Perfusionsanalyse.92	

Inhaltsverzeichnis 9

9.	Diagnostische Genauigkeit der Myokard-Perfusions-Szintigraphie 98
9.1.	Sensitivität, Spezifität, Likelihood Ratios
9.2.	Das falsch-positive Myokard-Perfusions-Szintigramm
10.	Risikoabschätzung und Prognose 102
10.1.	Ziel der Risikostratifizierung. 102
10.2.	Kategorien des kardialen Risikos
10.3.	Prognose bei Normalbefund
10.4.	Prognose bei pathologischem Befund
10.5.	Prognosebewertung bei hoher Vortest-Wahrscheinlichkeit
10.6.	Informationsgewinn durch Risikostratifizierung
10.7.	Zusammenhang von Ischämie und Infarktrate
10.8.	Mehrwert von <i>gated</i> SPECT
10.9.	Exkurs: Posttest Referral Bias bei Prognosestudien
11.	Myokard-Perfusions-Szintigraphie und Therapieentscheidungen 112
11.1.	Weichensteller Summed Difference Score
11.2.	TI 1 1 1 1 1 1 1 1 1 1 1 1 1 1 1 1 1 1 1
	Therapiealgorithmus
12.	
<b>12.</b> 12.1.	Spezielle Patientengruppen116Diabetes mellitus116
12.1. 12.1.1.	Spezielle Patientengruppen116Diabetes mellitus116Diagnostik und Prognosebeurteilung116
12.1. 12.1.1. 12.1.2.	Spezielle Patientengruppen116Diabetes mellitus116Diagnostik und Prognosebeurteilung116Diagnostik bei asymptomatischen Diabetikern119
12.1. 12.1.1. 12.1.2. 12.2.	Spezielle Patientengruppen116Diabetes mellitus116Diagnostik und Prognosebeurteilung116Diagnostik bei asymptomatischen Diabetikern119Frauen120
12.1. 12.1.1. 12.1.2.	Spezielle Patientengruppen116Diabetes mellitus116Diagnostik und Prognosebeurteilung116Diagnostik bei asymptomatischen Diabetikern119
12.1. 12.1.1. 12.1.2. 12.2.	Spezielle Patientengruppen116Diabetes mellitus116Diagnostik und Prognosebeurteilung116Diagnostik bei asymptomatischen Diabetikern119Frauen120
12.1. 12.1.1. 12.1.2. 12.2. 12.3.	Spezielle Patientengruppen116Diabetes mellitus116Diagnostik und Prognosebeurteilung116Diagnostik bei asymptomatischen Diabetikern119Frauen120Linksschenkelblock122
12.1. 12.1.1. 12.1.2. 12.2. 12.3.	Spezielle Patientengruppen116Diabetes mellitus116Diagnostik und Prognosebeurteilung116Diagnostik bei asymptomatischen Diabetikern119Frauen120Linksschenkelblock122Befundbericht128

# Einführung

12 1. Einführung

#### 1. Einführung

### 1.1. Technische und klinische Entwicklung

Die Myokard-Perfusions-Szintigraphie ist eine nuklearmedizinische Untersuchung zur Darstellung der Durchblutung des Herzmuskels.

Dieses Verfahren hat in den vergangenen 40 Jahren sowohl technisch als auch klinisch eine beeindruckende Entwicklung durchlaufen. In den ersten Jahren wurde die Myokard-Szintigraphie mit Tl-201 (Thallium) in planarer Aufnahmetechnik (meist in anteriorer, LAO 30°, LAO 45° und seitlicher Projektion) mit einer Einkopf-Gammakamera erstellt.

Wichtige technische Meilensteine in den 90er Jahren waren die Einführung der 3-dimensionalen Schnittbildtechnik SPECT (Single-Photonen-Emissions-Computer-Tomographie) mit Einkopf- und später Mehrkopf-Gammakameras und die EKG-getriggerte SPECT. Parallel wurden Verfahren zur Schwächungskorrektur entwickelt, um die Absorption der Photonenstrahlung durch das Gewebe zu kompensieren. Dies erfolgte zuerst mit radioaktiven Transmissionsquellen oder Linienquellen). Hybridgeräte (SPECT-CT) erlaubten im nächsten Schritt die CT-Komponente für die Schwächungskorrektur einzusetzen und hochwertige Transmissionsbilder zu erzeugen. Neueste Hybridgeräte mit Mehrschicht-CT (64-Zeiler) ermöglichen neben der Perfusionsdarstellung mit der SPECT die Darstellung der Koronararterien mit der CT und durch die Fusion beider Bildkomponenten die genaue Zuordnung einer Perfusionsstörung zu einer Koronarstenose und umgekehrt.

Ein weiterer Entwicklungszweig liegt derzeit in der Optimierung von Gammakameras und der Entwicklung speziell auf die Nuklearkardiologie ausgerichteter Systeme ( Abb. 1.1). Neue Halbleiterdetektoren weisen eine deutlich höhere Empfindlichkeit und räumliche Auflösung als herkömmliche NaJ-Kristalle auf. Sie erlauben, die Untersuchungszeit von bisher 20-30 min auf unter 5 min zu verkürzen ( Abb. 1.2 und 1.3). Die CT-Komponente garantiert eine hochwertige Schwächungskorrektur und ermöglicht die Überlage-

rung von koronarem Gefäßsystem und szintigraphischem Perfusionsbild.



**Abb. 1.1:** Philips Cardio MD: Eine speziell für die Nuklearkardiologie entwickelte Kamera mit Transmissionsquellen für die Schwächungskorrektur. Mit freundlicher Genehmigung der Fa. Philips.



**Abb. 1.2:** Symbia True Point SPECT-CT. Kamera mit Halbleiterdetektoren und CT. Mit freundlicher Genehmigung der Fa. Siemens.

1.2. Standortbestimmung



**Abb. 1.3:** GE Alcyone. SPECT-CT-Kamera mit Halbleiterdetektoren. © Copyright GE Healthcare - 2009.

Die Myokard-Perfusions-Szintigraphie erfolgte in den ersten Jahren nur mit Tl-201. Ende der 80er und Mitte der 90er Jahre wurden mit Sestamibi und Tetrofosmin Perfusions-Radiopharmaka eingeführt, die, mit Tc-99m markiert, eine qualitativ bessere Bildgebung ermöglichten und die EKGgetriggerte Aufnahmetechnik für die Routine einsetzbar machten. Inzwischen werden in Deutschland etwa 85 % der Myokard-Perfusions-Szintigraphien mit diesen Substanzen durchgeführt [1].

Klinisch hat sich seit 10 Jahren der Anwendungsund Einsatzbereich der Myokard-Perfusions-Szintigraphie auf die Risiko- und Prognosebeurteilung erweitert. Die Ergebnisse umfangreicher prognostischer Studien konnten nachweisen, dass die Myokard-Perfusions-Szintigraphie richtungsweisende Beiträge für die klinische Risiko- und Prognoseeinschätzung sowie für die Therapieentscheidung liefert.

#### 1.2. Standortbestimmung

Seit einigen Jahren führt die Arbeitsgemeinschaft "Kardiovaskuläre Nuklearmedizin" der Deutschen Gesellschaft für Nuklearmedizin gemeinsam mit der Arbeitsgruppe "Nuklearkardiologische Diagnostik" der Deutschen Gesellschaft für Kardiologie, Herz- und Kreislaufforschung Umfragen zur Myokard-Perfusions-Szintigraphie durch, um Informationen zur Nutzung, Durchführungspraxis, Zuweiserstruktur und Entwicklung zu gewinnen [1-3]. Die durchschnittlichen Untersuchungszahlen pro 100.000 Einwohner in den Jahren 2005

bis 2007 zeigt Abb. 1.4, das Verhältnis von Koronarangiographien zu Myokard-Perfusions-Szintigraphien Abb. 1.5. Die Daten belegen, dass in Deutschland eine sehr große regionale Variabilität (39 bis 264 Szintigraphien/100.000 Einwohner, Faktor 6,8, Mittelwert 147) bei der Nutzung der Myokard-Perfusions-Szintigraphie herrscht. Vergleichbar stellt sich das Verhältnis von Koronarangiographien zu Myokard-Perfusions-Szintigraphien (Bereich von 1,9 bis 12,1, Faktor 6,5, Mittelwert 4,4) dar.



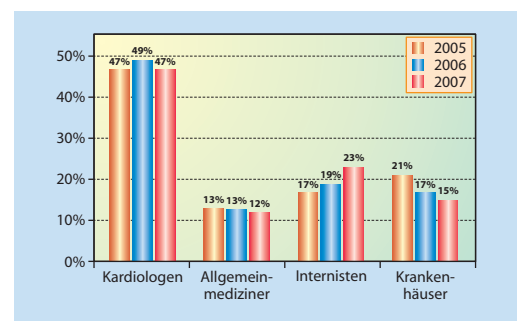
**Abb. 1.4:** Durchschnittliche Zahl von Myokard-Perfusions-Szintigraphien pro 100.000 Einwohner nach Bundesländern in den Jahren 2005-2007. Berechnet aus [1, 2, 3].

14 1. Einführung



**Abb. 1.5:** Durchschnittliches Verhältnis von Herzkatheteruntersuchungen zu Myokard-Perfusions-Szintigraphien nach Bundesländern in den Jahren 2005-2007. Berechnet aus [1, 2, 3].

Die Zuweiserstruktur ( Abb. 1.6) hat sich während des Erhebungszeitraumes gering geändert. Die Zahl der Untersuchungen im Rahmen eines Krankenhausaufenthaltes ist rückläufig, wohingegen die Zahl der Anforderungen von Internisten aus dem ambulanten Bereich gestiegen ist. Die stärkste Zuweisergruppe stellen Kardiologen.



**Abb. 1.6:** Zuweisungen zur Myokard-Perfusions-Szintigraphie nach Fachgruppen von 2005-2007 [1, 2, 3].

Die invasive Koronarangiographie ist die am besten etablierte und in Deutschland nahezu ubiquitär verfügbare Untersuchung zur Darstellung der Koronargefäße. Sie rangiert als Goldstandard für die Koronardiagnostik. Ihre Morbidität beläuft sich auf 1,5 %, die Mortalität auf 0,2 %. Beide Größen sind nicht vernachlässigbar klein und bei diagnostischen Entscheidungen zu berücksichtigen [5].

Ein großer Teil der KHK-Diagnostik und damit auch der Therapie erfolgt ohne vorherige szintigraphische Diagnostik. Diese Tendenz ist über den 3-jährigen Beobachtungszeitraum langsam steigend. Gleichzeitig ist eine kontinuierliche Zunahme von invasiven Koronarangiographien zu beobachten. Der Herzbericht 2009 weist für das Jahr 2008 784 Linksherzkatheterplätze mit 851.517 Linksherzkatheteruntersuchungen in Deutschland aus. Dem stehen 304.719 PTCA mit 268.545 Stent-Implantationen sowie 61.058 koronarchirurgische und 22.243 klappenchirurgische Eingriffe gegenüber [4]. Zieht man die Zahl der PTCA und Herzoperationen von der Linksherzkatheterzahl ab, verbleiben rund 450.000 invasive Koronarangiographien (ca. 50 %), welche entweder einen Normalbefund aufwiesen oder eine konservative Behandlung zur Folge hatten. Somit hatte jeder zweite Linksherzkatheter keine interventionelle oder operative Konsequenz. Andere Analysen, die zeigen konnten, dass im klinischen Alltag 20-40 % der Koronarangiographien Normalbefunde aufweisen, bestätigen diese Abschätzung [5].

Ob zu viele invasive Koronarangiographien in Deutschland durchgeführt werden, sei dahingestellt. Zweifelsfrei ist aus den Zahlen ableitbar, dass die Präselektion nicht optimal erfolgt und vorgeschaltete nicht-invasive Verfahren zur KHK-Diagnostik nicht ausgeschöpft werden. Ziel sollte sein, die invasive Diagnostik auf diejenigen Patienten zu fokussieren, bei denen nachfolgend eine Intervention notwendig ist.

Trotz der hohen Präferenz, welche die invasive Koronarangiographie erfährt, stellt sie kein Verfahren zur Beurteilung der funktionellen Relevanz einer Koronarstenose dar. Das gilt insbesondere für intermediäre Stenosen. Aus diesen Gründen ist in nationalen und internationalen Leitlinien und Empfehlungen ein Ischämienachweis vor einer Koronarangiographie verankert worden [6-8].

# Grundlagen

16 2. Grundlagen

### 2. Grundlagen

#### 2.1. Koronare Herzkrankheit

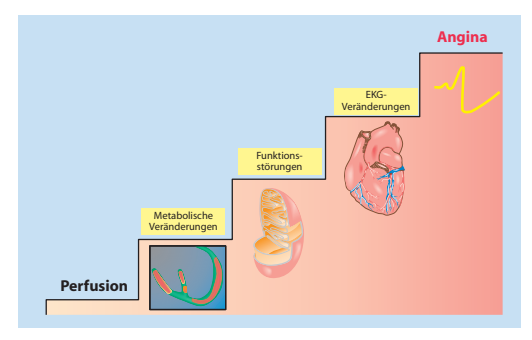
Das Einsatzgebiet der Myokard-Perfusions-SPECT ist die koronare Herzerkrankung (KHK). Die KHK ist die Manifestation der Atherosklerose an den Herzkranzarterien. Sie zeigt sich als stabile symptomatische oder asymptomatische Herzerkrankung oder als akutes Koronarsyndrom.

Die chronische Form der KHK machte 2003 in Deutschland 10,9 %, die akute Form (akuter Myokardinfarkt) 7,5 % der registrierten Todesfälle aus. Männer sind häufiger als Frauen betroffen und weisen eine höhere Rate koronarer Ereignisse (Myokardinfarkt und kardialer Tod) auf. Die Prävalenz der KHK in der Bevölkerung wird im vierten Lebensjahrzehnt bei Männern auf etwa 2 % geschätzt. Sie erhöht sich bis zum Alter von 60 bis 69 Jahren auf über 12 %. Bei Frauen liegt sie im vierten Lebensjahrzehnt unter 1 %, um auf über 7 % im Alter von 60 bis 69 Jahren anzusteigen.

Im Frühstadium der Erkrankung sind in der Regel noch keine Symptome vorhanden. Das Gefäßsystem zeigt eine endotheliale Dysfunktion mit einer Einschränkung der vasodilatatorischen Kapazität und Einlagerungen in der Gefäßwand. Mit fortschreitender Erkrankung bilden sich flusslimitierende Koronarstenosen aus, so dass der Sauerstoffbedarf des Herzmuskels nicht mehr gedeckt werden kann. Das Missverhältnis zwischen Sauerstoffbedarf und Sauerstoffangebot äußert sich klinisch als Angina pectoris-Symptomatik. Herzinsuffizienz, Herzinfarkt und Herzrhythmusstörungen sind die bedeutendsten klinischen Manifestationen der KHK und gelten derzeit als führende Todesursachen in Deutschland.

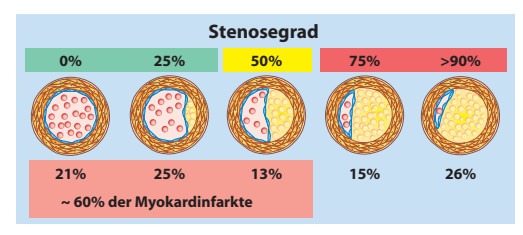
Die pathophysiologischen Veränderungen durch eine Ischämie entwickeln sich oft in mehreren Phasen. Die zeitliche Aufeinanderfolge von nachweisbaren Funktionsstörungen und Symptomen wird als Ischämiekaskade bezeichnet (FSF Abb. 2.1) [9]. Die Durchblutungsstörung ruft Stoffwechselveränderungen hervor, gefolgt von diastolischen und systolischen Wandbewegungsstörungen sowie Veränderungen im EKG. Klinische Symptome manifestieren sich erst spät innerhalb dieses Ge-

schehens. Der Nachweis einer Perfusionsstörung als Folge der Myokardischämie setzt innerhalb der Ischämiekaskade früher an als der Nachweis einer Wandbewegungsstörung (Stress-Echo, Dobutamin-Stress-MRT) oder von Veränderungen im Belastungs-EKG.



**Abb. 2.1:** Ischämiekaskade. Zeitlicher Ablauf von ischämieinduzierten Veränderungen auf zellulärer und funktioneller Ebene.

Autopsiebefunde zeigen, dass vor allem bis 50 %ige Koronarstenosen häufig zu einem Herzinfarkt führen ( Abb. 2.2) [10].



**Abb. 2.2:** Herzinfarkthäufigkeit und Ausprägung von Koronarstenosen. Modifiziert nach [10].

Solche akuten thrombotischen Verschlüsse entstehen meist auf dem Boden vulnerabler, instabiler Plaques, bei denen die Ruptur der dünnen fibrösen Deckschicht die Ausbildung eines okkludierenden Thrombus verursacht. Diese Plaques sind noch nicht durchblutungslimitierend und entziehen sich weitgehend der nicht-invasiven Bildgebung. Spezifische Radiopharmaka (wie z.B. Matrix-Metalloproteinasen, Annexin V) zum Nachweis vulnerabler Plaques sind derzeit in der Entwicklungshase [11]. Die PET mit F-18 FDG und die koronare CT zeigen vielversprechende Ansätze, so